

Оцінка механічних властивостей сталей з урахуванням фазно-структурного чинника. Повідомлення 2. Визначення працездатності сталей в агресивних середовищах за результатами випробувань на повітрі

В. І. Витвицький, М. П. Бережницька, Р. В. Чепіль

Фізико-механічний інститут ім. Г. В. Карпенка НАН України, Львів, Україна

Запропоновано застосування фазно-механічного підходу до аналітичної оцінки працездатності сталей у водні і водневмісних агресивних середовищах. За відомими даними узагальнено поведінку 50 сталей і одержано тісні кореляційні залежності між статичними властивостями сталей на повітрі, їх хімічним складом та характеристиками статичної, багатота малоциклової втоми в досліджуваних середовищах. Розбіжність між фактичними і розрахунковими даними не перевищує 8...18%.

Ключові слова: корозійні середовища, коефіцієнт стабільності аустеніту, малоциклова втома, границя корозійної втоми, порогове напруження сульфідного розтріскування.

Аналіз проблеми. Реалізація програм водневої енергетики пов'язана з вирішенням ряду складних завдань. Одне з головних – розробка нових високоміцних конструкційних матеріалів, здатних за визначений час функціонувати у водневмісних середовищах. Завдяки властивості водню ініціювати раптове руйнування проблема “водневої деградації” є актуальною [1]. У зв'язку з цим виникає потреба оцінки впливу водню на механічні характеристики конструкційних матеріалів. Окрім того, у багатьох випадках деформаційні процеси, викликані водневою деполяризацією на катодних ділянках, є основною причиною корозійної пошкодженості й руйнування матеріалів за навантажень у рідких водневмісних агресивних середовищах [2]. Ефективні методи підвищення стійкості матеріалів повинні базуватися на достовірній інформації стосовно їх ресурсу. Її можна одержати, об'єднавши наявні дані в узагальнюючі залежності, що пов'язують вихідні механічні властивості з показниками, відповідальними за опір у конкретних умовах експлуатації. Цьому питанню присвячено роботи [3, 4], але при спробах розповсюдження запропонованих у них залежностей на ширший загал матеріалів та умов експлуатації розбіжність між фактичними і розрахунковими даними стає неприйнятною.

Метою роботи є одержання узагальнюючих залежностей між властивостями широкого класу сталей за різних навантажень на повітрі та у водні і водневмісних агресивних середовищах із урахуванням фазно-структурного чинника.

Методика дослідження. За даними експериментальних досліджень [4–7] узагальнено результати зміни втомних характеристик матеріалів за статичного, мало- та багатоциклового навантаження у газоподібному водні та рідких водневмісних середовищах, зокрема у 3%-ному водному розчині NaCl і 3%-ному водному розчині NaCl + 0,5% CH₃COOH+H₂S. Для уніфікованої

оцінки впливу середовищ на службові характеристики використовували коефіцієнт $\beta_i = \beta_N; \beta_c; \beta_{H_2S}$ (див. нижче), який визначається співвідношенням значень конкретних показників у середовищі і на повітрі. Кількісний показник хімічного складу A_γ , що характеризує рівноважний фазно-структурний стан сталей, розраховували та використовували за методикою [8].

Водень високого тиску. Малоциклова втома є найчутливішим до дії водню видом навантаження [9], а показником максимального його впливу є границя водневої деградації – мінімальна кількість циклів до руйнування для кожного матеріалу, яка не зменшується з подальшим зростанням тиску водню за конкретної амплітуди циклічної деформації (ε) [10]. Для корозійностійких сталей таким є тиск $P_H = 10...35$ МПа. Вплив водню оцінювали за даними випробувань 15 сталей з використанням коефіцієнта β_N , який визначали за відношенням довговічностей сталей у газоподібному водні (N_H) при $P_H = 35$ МПа і на повітрі (N), тобто $\beta_N = N_H/N$ [5]. Відносна деформація плоских гладких зразків чистим згином становила 0,8; 1,2; 1,6% за частоти циклів 0,5 Гц. Температура досліджень складала 293 К. Інформацію про матеріали, результати випробувань та розрахунків наведено у табл. 1.

Границя корозійної втоми. Вплив корозійного середовища на багатоциклову втому оцінювали за допомогою коефіцієнта $\beta_{-1c} = (\sigma_{-1c}/\sigma_{-1})$, де σ_{-1c} – границя втоми при обертовому згині у 3%-ному водному розчині NaCl на базі $5 \cdot 10^7$ цикл; σ_{-1} – те ж на повітрі на базі 10^7 цикл. Розглядали 26 корозійностійких сталей різних структурних класів (табл. 2) [4–7]. Ряд матеріалів досліджували після різних термічних обробок.

Сульфідне розтріскування. Сульфідне розтріскування (СР) трубопроводів та нафтогазового обладнання є актуальною проблемою, що пов’язана з освоєнням наftових і газових родовищ, в яких міститься сірководень. Для оцінки схильності до СР сталей і сплавів та їх зварних з’єднань загально-прийнятим є метод NACE TM 01-77-90. Згідно з ним зразки діаметром 6,4 мм та довжиною робочої частини $l_p = 25,4$ мм випробовують під статичним навантаженням у розчині NACE (5%-ний водний розчин NaCl + 0,5% CH₃COOH + H₂S, насилення до 1800...2600 мг/л) при температурі 293 К. Схильність до корозійного розтріскування оцінюють за пороговим напруженням $\sigma_{\text{пор}}$ на базі 720 годин. Вживаним критерієм придатності сплаву до експлуатації в середовищах із високим вмістом сірководню є коефіцієнт $\beta_{H_2S} = \sigma_{\text{пор}}/\sigma_{0,2}$. Якщо він більший за 0,8, то матеріал відповідає вимогам роботи в даних умовах. Тут використовували результати роботи [6], в якій досліджувалась поведінка дев’яти марок сталей різних структурних класів (табл. 3).

Із метою встановлення кореляційних залежностей між властивостями матеріалу на повітрі й у середовищах як механічна складова аргументу використано єдиний параметр, який враховує спільну для розглянутих випадків специфіку пошкодженості та руйнування. При цьому основною характеристикою особливістю є локалізація деформаційних процесів [9]. Опірність локалізації пошкоджень як така контролюється здатністю матеріалу до рівномірної пластичної деформації. Чим вона більша, тим вище опірність. Цю здатність можна кількісно оцінити енергетичним параметром $H_0/H_{\text{пр}}$, де $H_0 = 0,5(S_b + \sigma_{0,2}) \ln(1 + \delta_p)$ –

**Механічні властивості, структура, малоциклова довготривалість на повітрі й у водні ($P_H = 35$ МПа),
коєфіцієнти впливу водної корозійності сталей**

| Сталь | σ_v , МПа | $\sigma_{0,2}$, МПа | δ , % | ψ , % | δ_p , % | A_y | Струк- тура | N, цикл, при ε , % | | | β_N при ε , % | | |
|----------------|---------------------|-------------------------|-----------------|---------------|-------------------|-------|--------------------|--------------------------------|---------------------|-----------------------|---------------------------------|-----------------|-----------------|
| | | | | | | | | експеримент | 1,6 | 1,2 | 0,8 | 1,6 | 1,2 |
| 1 | 2 | 3 | 4 | 5 | 6 | 7 | 8 | 9 | 10 | 11 | 12 | 13 | 14 |
| 08Х17Т | 460 | 260 | 37 | 66 | 26 | 0,152 | Ф | $\frac{800}{70}$ | | | 0,09 | | |
| 20Х14Н3М2В | 1000 | 790 | 17 | 55 | 9 | 0,72 | A+M+K | $\frac{1000}{42}$ | | | 0,04 | | |
| 02Х11Н11ТМ | 1000 | 930 | 20 | 75 | 9 | 0,79 | A+M+I | $\frac{1300}{70}$ | | | 0,05 | | |
| 03Х12Н9МТ | 1080 | 940 | 20 | 70 | 10 | 0,93 | A+M | $\frac{2100}{170}$ | | | 0,08 | | |
| 08Х18Н10Т | 610 | 310 | 61 | 61 | 48 | 1 | A+M _{псФ} | $\frac{1800}{600}$ | $\frac{3000}{1200}$ | $\frac{12000}{2100}$ | 0,33* | 0,40* | 0,18* (0,18) |
| 03Х11Н8К4М2ФВД | 1100 | 1070 | 18 | 65 | 9 | 1,07 | A+M+I | $\frac{1700}{380}$ | | | 0,22* (0,15) | | |
| 06Х12Г20АН5 | 800 | 420 | 54 | 62 | 43 | 1,64 | A | $\frac{2600}{1350}$ | | | 0,52* | | |
| 06Х27Н16АГ6 | 810 | 470 | 52 | 66 | 40 | 1,74 | A | $\frac{4100}{2600}$ | $\frac{8700}{4800}$ | $\frac{28000}{12000}$ | (0,6) (0,58) | 0,55* | 0,43* (0,33) |
| 03Х19Н23В2Т | 550 | 220 | 48 | 50 | 40 | 1,74 | A | $\frac{1850}{1850}$ | | | 1,00* | | |
| 04Х12Н36Т3ЮГ | 1100 | 810 | 31 | 51 | 20 | 1,86 | A+I _{min} | $\frac{2750}{1370}$ | $\frac{6300}{2350}$ | $\frac{28000}{6050}$ | 0,50* (0,45) | 0,37* (0,43) | 0,22* (0,25) |

| Продовження табл. 1 | | | | | | | | | | | | | | |
|--------------------------------------|------|-----|------|------|----|------|--------------------|---------------------|---------------------|-----------------------|-----------------|-----------------|-----------------|----|
| | 1 | 2 | 3 | 4 | 5 | 6 | 7 | 8 | 9 | 10 | 11 | 12 | 13 | 14 |
| X11H21T2PЮ | 1180 | 890 | 30 | 46 | 20 | 2,04 | A+I | $\frac{3100}{2300}$ | | | 0,74* (0,50) | | | |
| 06X14T20AH10M | 810 | 570 | 62 | 73 | 48 | 2,44 | A | $\frac{3200}{2300}$ | | | 0,72* (0,84) | | | |
| 03X11H43M2T (гартування+старіння) | 1250 | 820 | 29 | 49 | 18 | 2,52 | A+I | $\frac{2500}{1700}$ | $\frac{4900}{3800}$ | $\frac{27500}{12100}$ | 0,68* (0,76) | | | |
| 03X11H43M2T (гартування) | 815 | 505 | 37 | 38 | 25 | 2,52 | A+I _{min} | $\frac{2660}{2690}$ | | | 1,01* (0,85) | 0,78* (0,85) | 0,44* (0,47) | |
| 03X11H43M2T (перестарівання) | 1180 | 770 | 20,5 | 23,5 | 15 | 2,52 | A+I | $\frac{1590}{1090}$ | | | 0,69* (0,75) | | | |

Примітки: 1. Ф – феріг; А – аустеніт; М – мартенсит термообробки; M_{деф} – мартенсит деформації; К – карбиди; I – інтерметаліди. 2. Над рискою наведено дані, отримані на повторі, під рискою – у водні. 3. Зірочкою виділено дані експерименту, у дужках – результати розрахунку за рівняннями (1)–(3).

Таблиця 2

Експериментальні та розрахункові значення механічних характеристик

| № п/п | Сталь | d , мм | Експеримент | | | | | | | | | | Розрахунок | | |
|----------|-----------|-------------|---------------------|-------------------------|-----------------|---------------|------------------------|-------------------------|---------------|-------------------|---------------|---------------|-------------------------|------------------------|---------------------|
| | | | σ_b , МПа | $\sigma_{0,2}$, МПа | δ , % | ψ , % | σ_{-1} , МПа | σ_{-1c} , МПа | β_{-1c} | δ_p , % | β_{-1c} | Похибка, % | σ_{-1c} , МПа | Похибка, % | Похибка, % |
| 1 | 2 | 3 | 4 | 5 | 6 | 7 | 8 | 9 | 10 | 11 | 12 | 13 | 14 | 15 | 16 |
| 1 | 15X16H2M | 10 | 985 | 805 | 16,5 | 44,5 | 530 | 160 | 0,302 | 0,57 | 6,9 | 0,29 | 4,3 | $\frac{153,7}{145,46}$ | $\frac{3,9}{9,1}$ |
| 2 | 2Х13 | 10 | 1000 | 850 | 17,0 | 65,0 | 480 | 110 | 0,229 | 0,55 | 7,0 | 0,29 | 25,4 | $\frac{139,2}{148,02}$ | $\frac{26,5}{34,6}$ |
| 3 | 1Х12Н2ВМФ | 10 | 970 | 865 | 18,5 | 59,5 | 515 | 140 | 0,272 | 0,63 | 7,7 | 0,27 | 1,8 | $\frac{139,1}{131,38}$ | $\frac{0,7}{6,2}$ |

Продовження табл. 2

| | 2 | 3 | 4 | 5 | 6 | 7 | 8 | 9 | 10 | 11 | 12 | 13 | 14 | 15 | 16 |
|----|----------------|----|------|------|-------|------|-----|-----|-------|-------|-----|------|------|------------------------|---------------------|
| 1 | | | | | | | | | | | | | | | |
| 4 | 1Х12Н2ВМФ | 10 | 1080 | 880 | 17,5 | 56,0 | 510 | 150 | 0,294 | 0,63 | 7,4 | 0,30 | 2,8 | $\frac{153,0}{161,91}$ | $\frac{2,0}{7,9}$ |
| 5 | 15Х16Н2М | 10 | 1200 | 900 | 12,0 | 50,0 | 540 | 160 | 0,296 | 0,57 | 4,6 | 0,31 | 3,8 | $\frac{167,4}{188,23}$ | $\frac{4,6}{17,6}$ |
| 6 | 1Х12Н2МВФБА | 10 | 1060 | 920 | 19,0 | 59,0 | 500 | 200 | 0,400 | 0,71 | 7,3 | 0,34 | 16,0 | $\frac{170,0}{176,76}$ | $\frac{15,0}{11,6}$ |
| 7 | 1Х12Н2ВМФ | 10 | 1105 | 970 | 17,5 | 59,0 | 545 | 170 | 0,312 | 0,63 | 6,7 | 0,27 | 13,6 | $\frac{147,2}{148,96}$ | $\frac{13,4}{12,4}$ |
| 8 | 1Х12Н2МВФБА | 10 | 1205 | 1025 | 16,0 | 59,0 | 580 | 190 | 0,328 | 0,71 | 6,1 | 0,34 | 4,2 | $\frac{197,2}{199,75}$ | $\frac{3,8}{5,1}$ |
| 9 | 15Х16Н2М | 10 | 1200 | 1045 | 15,0 | 50,5 | 610 | 200 | 0,328 | 0,57 | 5,8 | 0,27 | 17,2 | $\frac{164,7}{163,94}$ | $\frac{17,7}{18,0}$ |
| 10 | 2Х13 | 10 | 1215 | 1080 | 15,5 | 67,5 | 570 | 160 | 0,281 | 0,55 | 5,9 | 0,28 | 1,2 | $\frac{159,6}{172,59}$ | $\frac{0,2}{7,9}$ |
| 11 | 1Х12Н2МВФБА | 10 | 1260 | 1085 | 15,5 | 61,0 | 620 | 180 | 0,290 | 0,71 | 5,9 | 0,33 | 14,7 | $\frac{204,6}{202,26}$ | $\frac{13,7}{12,4}$ |
| 12 | 1Х12Н2ВМФ | 10 | 1340 | 1115 | 14,5 | 64,5 | 660 | 160 | 0,242 | 0,63 | 5,5 | 0,29 | 17,9 | $\frac{191,4}{192,50}$ | $\frac{19,6}{20,3}$ |
| 13 | 13Х16К4Н2МВФБА | 10 | 966 | 810 | 14,2* | | 510 | 230 | 0,451 | 1,02 | 7,1 | 0,43 | 5,5 | $\frac{219,3}{186,83}$ | $\frac{4,7}{18,8}$ |
| 14 | 08Х17Н5М3 | 10 | 930 | 800 | 11,1* | | 500 | 185 | 0,370 | 0,585 | 5,1 | 0,40 | 7,1 | $\frac{200,0}{189,00}$ | $\frac{8,1}{2,2}$ |

Продовження табл. 2

| | 1 | 2 | 3 | 4 | 5 | 6 | 7 | 8 | 9 | 10 | 11 | 12 | 13 | 14 | 15 | 16 |
|----|---------------------|-----|-----|-----|-------|---|-----|-----|-------|-------|------|------|------|-------|-------------|-------------|
| 15 | 12X17 | 10 | 450 | 300 | 32,4* | | 240 | 150 | 0,625 | 0,30 | 27,7 | 0,51 | 17,8 | 122,4 | <u>18,4</u> | <u>14,9</u> |
| 16 | 14X17H2 | 10 | 950 | 750 | 15,6* | | 490 | 190 | 0,388 | 0,51 | 6,4 | 0,42 | 7,1 | 205,8 | <u>8,3</u> | <u>8,4</u> |
| 17 | 12X13 | 10 | 610 | 400 | 34,8* | | 310 | 150 | 0,484 | 0,27 | 23,2 | 0,51 | 5,6 | 158,1 | <u>5,4</u> | <u>15,8</u> |
| 18 | 08X22H6T | 10 | 720 | 430 | 21,7* | | 400 | 280 | 0,700 | 0,63 | 15,8 | 0,75 | 7,2 | 300,0 | <u>7,1</u> | <u>2,2</u> |
| 19 | 08X21H6M2T | 10 | 750 | 470 | 20,2* | | 420 | 305 | 0,726 | 0,57 | 14,6 | 0,67 | 7,6 | 283,9 | <u>6,9</u> | <u>14,7</u> |
| 20 | 12X18H9 | 7,5 | 645 | 341 | 48,4* | | 250 | 205 | 0,820 | 1,049 | 41,9 | 0,84 | 2,9 | 210,0 | <u>2,4</u> | <u>21,8</u> |
| 21 | 12X18H10T | 7,5 | 631 | 251 | 61,6* | | 265 | 245 | 0,925 | 1,125 | 53,3 | 0,92 | 0,6 | 243,8 | <u>0,5</u> | <u>6,9</u> |
| 22 | 07X16H4Б (Ø5 мм) | 5 | 966 | 810 | 17,4* | | 510 | 230 | 0,451 | 0,32 | 6,4 | 0,51 | 14,1 | 260,1 | <u>13,1</u> | <u>15,7</u> |
| 23 | 08X18Г12H5АБ | 5 | 800 | 520 | 30,4* | | 230 | 220 | 0,957 | 1,922 | 24,8 | 0,96 | 0,0 | 220,8 | <u>0,4</u> | <u>1,8</u> |
| 24 | 08X17H16T | 5 | 890 | 790 | 9,13* | | 470 | 228 | 0,485 | 0,699 | 4,6 | 0,52 | 8,2 | 244,4 | <u>7,2</u> | <u>0,7</u> |
| 25 | 09X17H7IO | 5 | 870 | 780 | 8,5* | | 460 | 250 | 0,543 | 0,743 | 4,5 | 0,52 | 4,4 | 239,2 | <u>4,3</u> | <u>11,1</u> |

| Продовження табл. 2 | | | | | | | |
|---------------------|-----------|---|-----|-----|-------|-----|-----|
| | 2 | 3 | 4 | 5 | 6 | 7 | 8 |
| 1 | | | | | | | |
| 26 | 10Х26Н5М2 | 5 | 640 | 530 | 23,4* | 310 | 215 |

Примітка. Над рискою наведено експериментальні значення σ_v ; $\sigma_{0,2}$; δ ; σ_{-1} , під рискою – експериментальні значення σ_v ; $\sigma_{0,2}$; δ та розраховані σ_{-1} із таблиці роботи [14], графа 7. Зірочкою позначено розрахункові значення δ .

Таблиця 3

Експериментальні і розрахункові порогові напруження та коефіцієнти стабільності аустеніту сталей

| Сталь | Експеримент | | | | Розрахунок | | | | Похибка, % |
|-----------|-------------------|-----------------------|---------------|-----------------|------------------------------|-------|------------|----------------|---------------|
| | σ_v МПа | $\sigma_{0,2}$ МПа | ψ , % | δ , % | $\sigma_{\text{пор}}$ МПа | A_y | δ_p | β_{H_2S} | |
| 20 | 474 | 290 | 47 | 18 | 150 | 0,243 | 16 | 0,55 | 159,5 |
| 20ІЧ | 480 | 240 | 55 | 32 | 195 | 0,203 | 27 | 0,88 | 211,2 |
| 14ГБ | 520 | 470 | 43 | 16 | 250 | 0,178 | 11 | 0,56 | 263,2 |
| 17ГС(СШ) | 500 | 345 | – | 22 | 210 | 0,205 | 19 | 0,63 | 217,3 |
| 12Х1МФ | 463 | 255 | 44 | 20 | 170 | 0,155 | 17 | 0,67 | 197,65 |
| 10ХН5МФ | 590 | 467 | 68 | 25 | 145 | 0,360 | 17 | 0,28 | 130,76 |
| 20Х13 | 500 | 370 | 40 | 19 | < 100 (~90) | 0,493 | 16 | 0,27 | 99,9 |
| 12Х18Н10Т | 540 | 220 | 48 | 36 | ~1 | 1,201 | 31 | – | – |
| 02Х20Н6М3 | 1118 | 771 | – | 26 | 290 | 0,730 | 19 | 0,40 | 308,4 |

загальне енергопоглинання за рівномірного розтягу; $H_{\text{пр}} \approx \sigma_{0,2} \ln(1 + \delta_p)$ – робота пружних сил за істинною діаграмою розтягу (лінійна апроксимація) – рис. 1; $S_B = \sigma_B(1 + \delta_p)$ – дійсний тимчасовий опір; δ_p – рівномірне видовження. Таким чином, шуканий параметр матиме вигляд $\frac{H_0}{H_{\text{пр}}} = \frac{1}{2} \left(\frac{S_B}{\sigma_{0,2}} + 1 \right)$. Далі будували залежності в координатах $A_\gamma^m \beta_i^n - A_\gamma^k \left[\frac{1}{2} \left(\frac{S_B}{\sigma_{0,2}} + 1 \right) \right]^l$. Шляхом ітерації значення показників m, n, k та l оптимізували до одержання рівнянь апроксимації з коефіцієнтом кореляції $R > 0,99$.

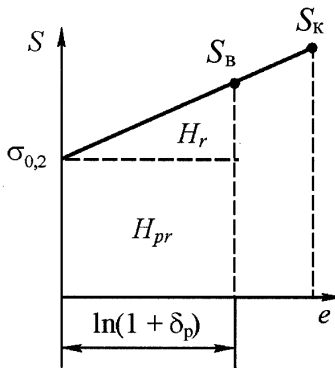


Рис. 1. Істинна діаграма розтягу.

Результати досліджень та їх обговорення. Водень високого тиску. На рис. 2,а представлено залежності між вихідними механічними властивостями, хімічним складом та впливом водню на малоциклову втому корозійних сталей, отримані на основі рівняння $A_\gamma^m a^n = f(A_\gamma^k b^l)$ (a і b – показники механічних властивостей, між якими встановлюються залежності; m, n, k, l – коефіцієнти, $m, k = 2; n, l = 0,5$) вищеописаним способом для кожної амплітуди циклічної деформації ε з урахуванням та без урахування впливу структурного параметра A_γ . Залежності апроксимували рівняннями виду $y = ax^b$ з коефіцієнтом кореляції $R > 0,99$ і знаходили β_N ($\beta_N = N_H/N$; N_H – малоциклова довговічність у водні; N – те ж на повітрі>):

для $\varepsilon = 1,6\%$ маємо:

$$A_\gamma^2 \sqrt{\beta_N} = 0,3508 \left(A_\gamma^2 \sqrt{\frac{1}{2} \left(\frac{S_B}{\sigma_{0,2}} + 1 \right)} \right)^{1,3802},$$

звідки

$$\beta_N = 0,12306 A_\gamma^{1,5208} \left(\frac{1}{2} \left(\frac{S_B}{\sigma_{0,2}} + 1 \right) \right)^{1,3802} \quad (1)$$

($R = 0,9930$; середня похибка 18,0%);

для $\varepsilon = 1,2\%$:

$$\beta_N = 0,16113 A_\gamma^{1,0328} \left(\frac{1}{2} \left(\frac{S_B}{\sigma_{0,2}} + 1 \right) \right)^{1,2582} \quad (2)$$

($R = 0,9981$; середня похибка 8,25%);

для $\varepsilon = 0,8\%$:

$$\beta_N = 0,07365 A_\gamma^{1,3996} \left(\frac{1}{2} \left(\frac{S_B}{\sigma_{0,2}} + 1 \right) \right)^{1,3499} \quad (3)$$

($R = 0,9954$; середня похибка 12,8%).

Матеріали з $A_\gamma < 1$ внаслідок катастрофічного окрихчення у водні ($\beta_N < 0,1$) виокремлено в групу непрацездатних структур і вони не беруться до уваги в розрахунках.

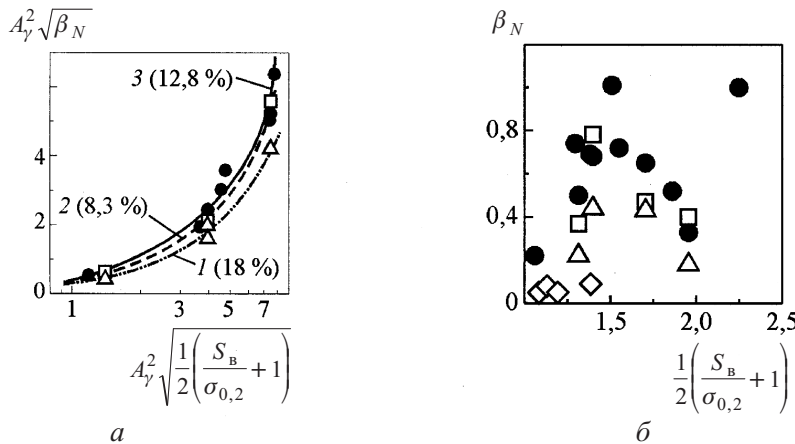


Рис. 2. Залежність між механічними властивостями сталей та коефіцієнтом впливу водню β_N на малоциклову довговічність з урахуванням (a) і без урахування (b) A_γ : 1 – $\triangle - \varepsilon = 1,6\%$; 2 – $\square - \varepsilon = 1,2\%$; 3 – $\bullet - \varepsilon = 0,8\%$. (Тут і на рис. 3, 4: цифри в дужках – середня похибка.)

Аналіз рис. 2, a і даних табл. 1 показує, що стійкість до водню підвищується зі зростанням A_γ та резерву зміщення $S_B/\sigma_{0,2}$. Таким чином, основним напрямком оптимізації матеріалів із точки зору підвищення їх воднетьривкості є виваженість балансу у сполученні стабільність аустеніту – міцність. При цьому роль фазно-структурного показника A_γ є найвагомішою. За рахунок зміни A_γ можна в певній мірі мінімізувати традиційно негативний вплив на воднетьривкість факторів, що зумовлюють підвищення міцності [11]. Наприклад, підвищувати A_γ можна не збільшуючи вміст аустенітоутворюючих елементів, а лише утримуючи в оптимальних рамках вміст феритоутворюючих елементів або хромеквіалента (CrE), тобто його бажано зберегти в інтервалі значень 17...20 (за діаграмою Шефлера та діаграмою Fe–Cr–Ni-сплавів при Cr, CrE = 18 потрібно мінімум γ -стабілізуючих елементів для утворення повністю аустенітної структури [12]).

Границя корозійної втоми. Аналіз даних табл. 2 показує, що зі зростанням A_γ зменшується негативний вплив середовища. Для врахування ролі масштабного фактора будували окремі залежності для зразків діаметром 5 і 7,5–10 мм (табл. 2). Оскільки для наведених в табл. 2 матеріалів [4] відсутні експериментальні значення відносного подовження та звуження, за розробленим раніше підходом [13] розраховували δ і далі δ_p . Також виділили у окрему групу матеріали, для яких було відоме експериментальне значення δ , за його допомогою визначали δ_p . Значення показників степеней складових координат є наступними: $m=2$; $k=1$; $n, l=0,5$ (рис. 3, а). Кореляційні залежності апроксимували кубічними або квадратичними поліномами, за якими визначали коефіцієнт β_{-1c} ($\beta_{-1c} = \sigma_{-1c}/\sigma_{-1}$):

зразки діаметром 10 мм із матеріалів № 1–12 (табл. 2):

$$\beta_{-1c} = \left[1,3105 \left(\frac{S_B}{\sigma_{0,2}} + 1 \right) + \frac{2,743}{A_\gamma} \sqrt{\frac{1}{2} \left(\frac{S_B}{\sigma_{0,2}} + 1 \right)} - \frac{0,8673}{A_\gamma^2} \right]^2 \quad (4)$$

($R=0,9639$, середня похибка 10,2%);

зразки діаметром 7,5 і 10 мм із матеріалів № 1–21 (табл. 2):

$$\begin{aligned} \beta_{-1c} = & \left[-0,4997 A_\gamma \left(\frac{1}{2} \left(\frac{S_B}{\sigma_{0,2}} + 1 \right) \right)^{3/2} + 1,57 \left(\frac{S_B}{\sigma_{0,2}} + 1 \right) - \right. \\ & \left. - \frac{0,5765}{A_\gamma} \sqrt{\frac{1}{2} \left(\frac{S_B}{\sigma_{0,2}} + 1 \right)} + \frac{0,0911}{A_\gamma^2} \right]^2 \end{aligned} \quad (5)$$

($R=0,9639$, середня похибка 6,8%);

зразки діаметром 5 мм із матеріалів № 22–26 (табл. 2):

$$\beta_{-1c} = \left[-0,3343 A_\gamma \left(\frac{S_B}{\sigma_{0,2}} + 1 \right) + \frac{0,0029}{A_\gamma} \sqrt{\frac{1}{2} \left(\frac{S_B}{\sigma_{0,2}} + 1 \right)} - \frac{0,0062}{A_\gamma^2} \right]^2 \quad (6)$$

($R=1$, середня похибка 7,6%).

Криві на рис. 3, а розташовані симбатно одна під одною. Крок відставання відповідає невеликій постійній систематичній розбіжності між фактичними і розрахунковими даними. Для перевірки ефективності запропонованого підходу використали два варіанти. Згідно з першим вихідними параметрами слугували експериментальні значення σ_B , $\sigma_{0,2}$, δ та σ_{-1} , згідно з другим – короткочасні механічні властивості та розрахункові значення σ_{-1} (див. таблицю в повідомленні 1, колонка 8). Результати розрахунків наведено у табл. 2.

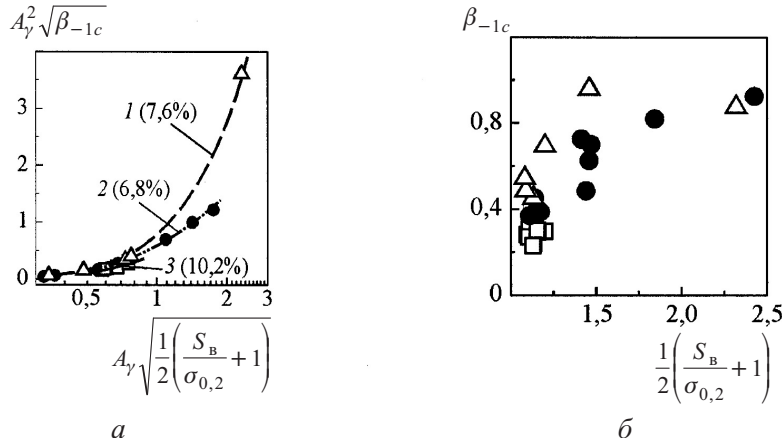


Рис. 3. Залежність між механічними властивостями сталей та коефіцієнтом впливу 3%-ного NaCl β_{-1c} на границю втоми з урахуванням (a) і без урахування A_γ (b): 1, \triangle – $d = 5$ мм; 2, \square – $d = 10$ мм; 3, \bullet – $d = 7,5$ і 10 мм.

Вищеноведене дає змогу за хімічним складом та вихідними механічними властивостями (достатньо σ_b та $\sigma_{0,2}$) кількісно визначати вплив корозійного середовища на зміну границі втоми без проведення додаткових випробувань або вимірювань у процесі експлуатації. Зіставлення показників (рис. 2,а і 3,а), за якими визначали коефіцієнти впливу водню на малоциклову втому та корозійного середовища на границю втоми, свідчить, що під час випробувань за наявності водню роль структурного фактора є суттєвішою, ніж за корозійного середовища.

Сульфідне розтріскування. Аналіз даних табл. 3 показує, що зі збільшенням A_γ опірність середовищу ($\beta_{H_2S} = \sigma_{\text{пор}}/\sigma_{0,2}$) зменшується, зі зростанням δ і $S_b/\sigma_{0,2}$ – підвищується. Так, зменшення вмісту сірки у сталі 20 із 0,013 до 0,003% зумовлює зростання δ з 18 до 32% і, як наслідок, зростання показника опірності локалізації пошкоджень $0,5[(S_b/\sigma_{0,2}) + 1]$ і $\sigma_{\text{пор}}/\sigma_{0,2}$. Таким чином, A_γ і $S_b/\sigma_{0,2}$ впливають на придатність сплавів до експлуатації у середовищі сірководню в протилежних напрямках, тобто в сірководні спостерігається інверсія дії фазного чинника. Із використанням вищеноведеного алгоритму побудували залежність (рис. 4,а) із показниками $m, k = -2; n, l = 0,5$, яку апроксимували кубічним поліномом із коефіцієнтом кореляції $R = 0,9999$:

$$\beta_{H_2S} = \left[\frac{0,0003}{A_\gamma^3} \left(\frac{1}{2} \left(\frac{S_b}{\sigma_{0,2}} + 1 \right) \right)^{3/2} + \frac{0,24}{A_\gamma^2} \left(\frac{S_b}{\sigma_{0,2}} + 1 \right) + \right. \\ \left. + 0,225 \sqrt{\frac{1}{2} \left(\frac{S_b}{\sigma_{0,2}} + 1 \right) + 0,5788 A_\gamma^2} \right]^2 \quad (7)$$

(середня похибка 8%).

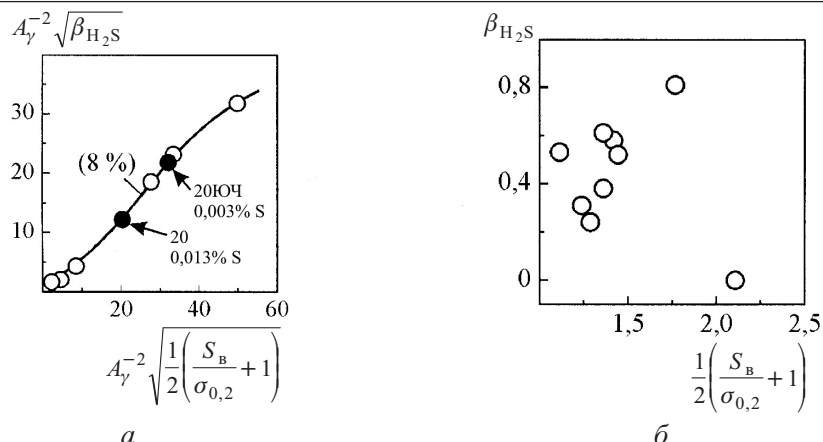


Рис. 4. Залежність між механічними властивостями сталей та коефіцієнтом впливу сірководневого середовища β_{H_2S} на порогове напруження розтріскування з урахуванням (а) і без урахування (б) A_γ .

Доцільність урахування фазно-структурного чинника при аналітичній оцінці властивостей в середовищах видна з порівняння рис. 2–4.

Таким чином, використання розрахункової сталої хімічного складу A_γ , і механічного показника опірності локалізації пошкоджень, визначеного з дійсної діаграми розтягу, дозволяє вперше за єдиним методичним підходом одержати узагальнюючі аналітичні залежності між вихідними механічними властивостями сталей та їх службовими характеристиками за різних навантажень в агресивних середовищах: а) коефіцієнтом впливу водню високого тиску на малоциклову втому (15 сталей); б) коефіцієнтом впливу 3%-ного водного розчину NaCl на границю втоми (26 сталей), причому у зразків різних діаметрів окремі залежності; в) пороговим напруженням розтріскування (дев'ять сталей) у сірководневому середовищі. Вплив A_γ кількісно і якісно відрізняється в залежності від виду навантаження і водневмісного середовища. Його роль в опірності водню та сірководню на ступінь вища, ніж за корозійної втоми. При цьому в сірководні спостерігається інверсія дії фазного чинника. У всіх випадках внесок останнього в кореляцію суттєвіший, ніж роль механічного фактора. Одержані дані свідчать про методологічну ефективність запропонованого підходу до врахування фазно-структурного стану матеріалів при оцінці і прогнозуванні їх працездатності в агресивних середовищах за різних навантажень.

Резюме

Предложено использование фазно-механического подхода к аналитической оценке работоспособности сталей в водороде и водородсодержащих агрессивных средах. С помощью литературных данных обобщено поведение 50 сталей и получены значимые корреляционные зависимости между статическими особенностями сталей на воздухе, их химическим составом и характеристиками статической, много- и малоциклической усталости в средах.

1. Охрупчивание конструкционных сталей и сплавов / Под ред. К. Л. Браен-та, С. К. Бенерджи: Пер. с англ. – М.: Металлургия, 1988. – 552 с.
2. Коррозионная усталость металлов: Тр. 1-го сов.-англ. семинара / Под ред. акад. Я. М. Колотыркина. – Киев: Наук. думка, 1982. – 372 с.
3. Белогуров А. І., Рачук В. С., Рудіс М. А. та ін. Розрахунок елементів конструкцій водневої енергетики на міцність // Фіз.-хім. механіка матеріалів. – 2004. – **40**, № 6. – С. 89 – 94.
4. Похмурський В., Хома М. Вплив механічних властивостей і структурного стану корозійно тривких сталей на їхню витривалість у повітрі та корозійному середовищі // Машинознавство. – 2001. – № 4-5. – С. 13 – 16.
5. Витвицький В. І. Експериментально-аналітична оцінка впливу водню на малоциклову втому сталей // Фіз.-хім. механіка матеріалів. – 2007. – **43**, № 5. – С. 54 – 60.
6. Мелехов Р. К., Карвацький Л. М., Радкевич О. І. та ін. Сульфідне розтріскування конструкційних сталей і сплавів // Там же. – 1998. – **39**, № 1. – С. 83 – 88.
7. Каличак Т. Н. Исследование некоторых физико-механических и электрохимических свойств мартенситных нержавеющих сталей: Автореф. дис. ... канд. техн. наук. – К., 1971. – 21 с.
8. Витвицький В. І., Ткачов В. І., Бережницька М. П., Чепіль Р. В. Оцінка механічних властивостей корозійнотривких сталей за статичного і малоциклового навантаження // Пробл. прочности. – 2007. – № 5. – С. 19 – 30.
9. Витвицький В. І. Воднетривкість сплавів на основі заліза, нікелю та титану // Фіз.-хім. механіка матеріалів. – 2004. – **40**, № 6. – С. 7 – 18.
10. Витвицький В. І. Малоциклова довговічність сталей у водні високого тиску // Там же. – 2004. – № 1. – С. 55 – 59.
11. Витвицький В. І., Ткачов В. І., Бережницька М. П., Чепіль Р. В. Прогнозування довговічності корозійностійких сталей на повітрі і у водні високого тиску // Машинознавство. – 2006. – № 6. – С. 19 – 24.
12. Пикеринг Ф. Б. Физическое металловедение и разработка сталей: Пер. с англ. – М.: Металлургия, 1982. – 184 с.
13. Витвицький В. І. Структурно-механічна оцінка міцності та пластичності сплавів Fe, Fe–Ni, Ni-основи // Механіка і фізика руйнування будівельних матеріалів та конструкцій: Зб. наук. праць. – 2005. – Вип. 6. – С. 276 – 298.
14. Витвицький В. І. Оцінка механічних властивостей сталей з врахуванням фазно-структурного чинника. Повідомлення 1. Визначення границі втоми на повітрі за статичною міцністю // Пробл. прочности. – 2010. – № 2. – С. 65 – 73.

Поступила 21. 06. 2009